

### Значения величины $A$ и относительного светового выхода

| Тип сцинтиллятора | Коэффициент $A$ |      | Относительный световой выход |      |
|-------------------|-----------------|------|------------------------------|------|
|                   | 1 см            | 2 см | 1 см                         | 2 см |
| Комбинированный   | 5,0             | 4,75 | 1,2                          | 1,25 |
| Дисперсный        | 3,0             | 3,0  | 1,0                          | 1,0  |

вительности от отношения веса основы к весу компенсатора  $P_{\text{осн}}/P_{\text{ком}}$  (при расчете учитывались зависимости  $G_{\text{ком}}$  и  $G_{\text{осн}}$  от энергии и обмен энергий между компенсатором и основой). Видно, что расчетные и экспериментальные значения изменения чувствительности для дисперсных и комбинированных сцинтилляторов хорошо согласуются.

В заключение необходимо отметить, что для воздухоэквивалентных сцинтилляторов, как комбинированных, так и дисперсных, в которых в качестве компенсатора используется  $ZnS(Ag)$ , а основы — сцинтиллирующая пластмасса на основе полистирола, изменение чувствительности для энергий выше 30 кэВ практически одинаково.

### Исследование возможностей каротажа нефтяных скважин с использованием Ge(Li)-гамма-детектора и Ро—Ве-источника нейтронов

Л. И. ГОВОР, А. М. ДЕМИДОВ, В. А. ИВАНОВ

В настоящей работе описываются возможности проведения нейтронорадиационного каротажа нефтяных геологических скважин Ge (Li) — гамма-детектором и Ро — Ве-нейтронным источником.

Исследования проводились с моделью нефтяной скважины, близкой к реальным условиям. Используемая модель пласта схематично изображена на рис. 1. Размеры бака 9, в котором она размещалась, составляли  $800 \times 800 \times 700$  мм. Стальная обсадная труба 4 имела внутренний диаметр 150 мм, толщину стенок 10 мм, а цементное кольцо 7, окружающее трубу, было толщиной  $\sim 35$  мм.

Бак поочередно заполняли пресной водой, трансформаторным маслом, сухим песком 8 (пористость 40%), насыщенным пресной водой или маслом.

Внутри стальной трубы размещали Ge(Li)-гамма-детектор 1 с чувствительным объемом 2,5 см<sup>3</sup> и Ро — Ве-источник 5 с активностью  $2-3 \cdot 10^7$  нейтр/сек. Детектор экранировали от нейтронного и  $\gamma$ -излучения Ро — Ве-источника свинцовым блоком 2 длиной 150 мм и диаметром 60 мм, а также слоем Li<sup>6</sup>F в 4 мм или защитой из карбида бора (B<sub>4</sub>C) 3 и свинца 2. Расстояние между детектором и источником составляло  $\sim 200$  мм. Для учета влияния замедлителя, находящегося в скважине (нефть или вода), в последней размещали парашютный цилиндр 6, форма которого соответствовала эксцентричному расположению каротажного прибора в скважине. Первые эксперименты были проведены в скважине. Первые эксперименты были проведены с размещением детектора и источника в стальной трубе диаметром 125 мм и толщиной стенок 10 мм (имитация стенок скважинного прибора). В дальнейшем дополнительная труба была удалена и исследовали случай

ково. Для энергий ниже 30 кэВ изменение чувствительности комбинированных сцинтилляторов существенно меньше дисперсных: в диапазоне 14—125 кэВ — на 75% для толщин 1 и 2 см, в диапазоне 20—1250 — на 55 и 65% для толщин 1 и 2 см соответственно.

Поступило в Редакцию 24/X 1968 г.  
В окончательной редакции 4/I 1970 г.

### ЛИТЕРАТУРА

1. E. Belcher, J. Geiling er. Brit. J. Radiology, 30, 103 (1957).
2. М. И. Арсаев, Н. Е. Судимова. «Приборы и техника эксперимента», № 4, 59 (1963).
3. R. Kempe. Kernenergie, H. 10, 553 (1963).
4. М. И. Арсаев, В. А. Красников, Б. Г. Маргулис. «Атомная энергия», 27, 336 (1969).
5. М. И. Арсаев. В сб. «Ядерное приборостроение», № 8, М., Атомиздат, 1968.
6. М. И. Арсаев, В. А. Красников, Б. Г. Маргулис. Монокристаллы, сцинтилляторы и органические люминофоры. Вып. 5, ч. 2, Харьков, 1970, стр. 112.

УДК 550.835:553.9

использования алюминиевых сплавов или циркония для оболочки скважинного снаряда.

Электронная аппаратура состояла из предусилителя, основного усилителя с дискриминатором и 110-канального амплитудного анализатора и обеспечивала в течение эксперимента разрешение 9—18 кэВ в области энергий  $E_\gamma = 1,8 \div 8$  МэВ. Определение энергий  $\gamma$ -линий производилось генератором точной амплитуды с погрешностью менее  $\pm 5 \div 7$  кэВ.

Определение нефте- и водонасыщенности пластов, пористости породы и установление водо-нефтяного контакта связаны с элементным анализом основных составляющих пласта. В рассматриваемом случае песчаника это кремний, кислород, углерод и водород (в известняках — кальций вместо кремния) [1—3].

Такие элементы, как кремний, кальций и водород, хорошо обнаруживаются по  $\gamma$ -излучению радиационного захвата тепловых нейтронов [1]. Характерными линиями для них являются 4,936 МэВ Si<sup>29</sup>, 6,420 МэВ Ca<sup>41</sup> и 2,223 МэВ D<sup>2</sup>. В то же время кислород и углерод имеют очень малые сечения захвата тепловых нейтронов и практически не обнаруживаются. Однако у кислорода (O<sup>16</sup>) и углерода (C<sup>12</sup>) первые возбужденные уровни лежат очень высоко, что создает благоприятные возможности для их обнаружения по  $\gamma$ -излучению от неупругого рассеяния быстрых нейтронов. Характерными  $\gamma$ -линиями здесь являются 6,131 МэВ для O<sup>16</sup> и 4,443 МэВ для C<sup>12</sup>.

Особенность  $\gamma$ -излучения, сопровождающего рассеяние быстрых нейтронов, — уширение  $\gamma$ -линий, когда время жизни уровня меньше времени замедления ядра отдачи. Наблюдаемая величина уширения  $\gamma$ -линий за-

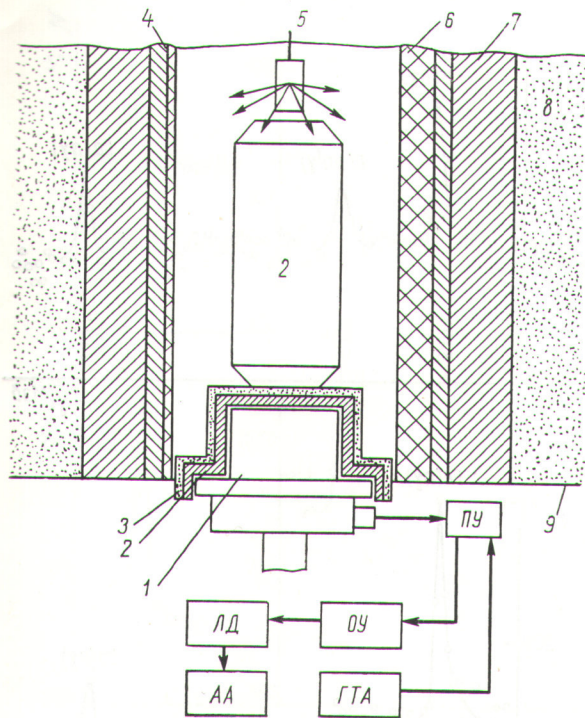


Рис. 1. Общая схема экспериментов:

ПУ — предварительный усилитель; ОУ — основной усилитель; ЛД — линейный дискриминатор; АА — амплитудный анализатор; ГТА — генератор точной амплитуды.

висит от угла между направлением пучка падающих нейтронов и направлением наблюдения  $\gamma$ -квантов, а также от энергии нейтронов ( $\sim \sqrt{E_n}$ ) и массы ядра отдачи ( $\sim 1/m$ ). Время жизни уровня 4,433 Мэв в  $C^{12}$  составляет  $4,6 \cdot 10^{-14}$  сек, что меньше времени замедления ядра отдачи. Если угол наблюдения близок к  $90^\circ$ , то уширение минимально и должно составлять 50—60 кэв для нейтронов Ро — Ве-источника. Экспериментально найденная ширина  $\gamma$ -линии 4,43 Мэв (для случая чисто графитовой кладки) оказалась равной 50 кэв.

Большая ширина  $\gamma$ -линии 4,43 Мэв от  $C^{12}$  резко снижает чувствительность нейтронорадиационного метода определения содержания углерода в породе, так как собственное разрешение германиевого детектора при этой энергии в описываемом случае составляло 10—12 кэв. Однако величина допплеровского уширения  $\gamma$ -линии  $C^{12}$  в 4—5 раз меньше полуширины пика, получаемого на спектрометре с кристаллом  $NaI(Tl)$ . Допплеровское уширение  $\gamma$ -линий 6,131 Мэв от  $O^{16}$  ( $nn'\gamma$ ), а также 1,78 Мэв от  $Si^{28}$  ( $nn'\gamma$ ) значительно меньше.

Предварительные эксперименты с  $Ge(Li)$  — гамма-детектором и Ро — Ве-источником были проведены в условиях, менее жестких, чем описанные выше: скважина сухая, без цементного кольца, толщина стенок стальной обсадной трубы 5 мм. В полученных спектрах были хорошо выделены характерные линии от радиационного захвата тепловых нейтронов ядрами  $H^1$ ,  $Si^{28}$ ,  $Fe^{56}$  и от неупругого рассеяния быстрых нейтронов на ядрах  $Si^{28}$ ,  $O^{16}$ ,  $C^{12}$ . Некоторые результа-

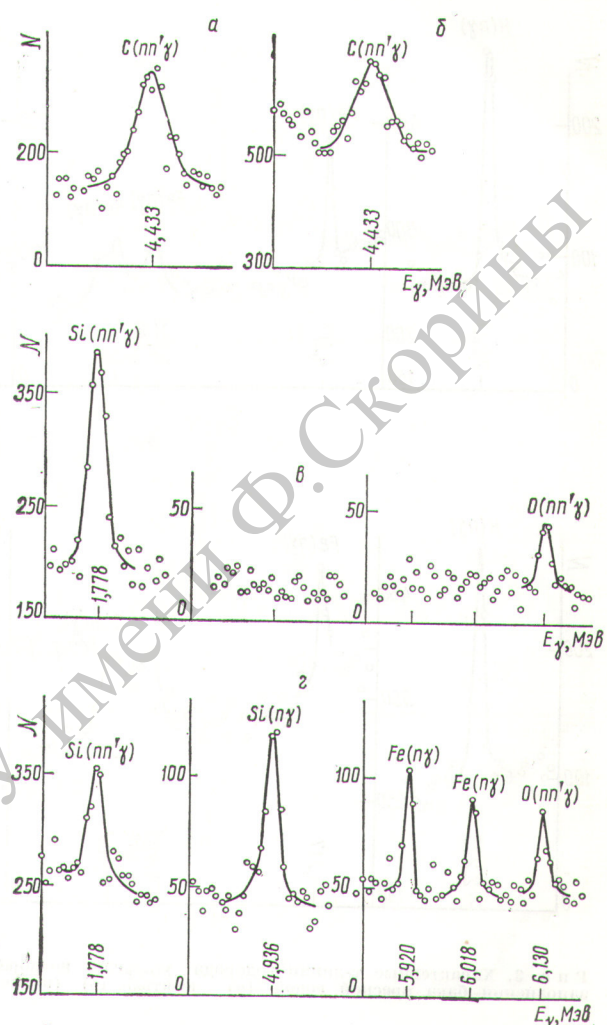


Рис. 2. Характерные  $\gamma$ -линии в  $\gamma$ -спектрах на модели сухой скважины с легкой обсадной колонной ( $N$  — количество импульсов):

а — линия углерода, измеренная на кладке из парафиновых блоков; б — линия углерода в спектре песка с нефтью; в — линии кислорода и кремния в  $\gamma$ -спектре сухого песка (видно, что  $\gamma$ -линии от радиационного захвата нейтронов в железе и кремнии отсутствуют); г — те же линии в спектре песка с маслом.

ты этих опытов представлены на рис. 2\*. Дополнительно показана  $\gamma$ -линия  $C^{12}$ , полученная при окружении детектора и источника парафином.

Особенность  $\gamma$ -спектров, получаемых на сухой скважине без цементного кольца, — полное отсутствие  $\gamma$ -линий радиационного захвата тепловых нейтронов в песке. При водо- или нефтенасыщенном пласте проявляются линии от радиационного захвата (от неупругого рассеяния нейтронов  $\gamma$ -линии имеются в обоих случаях). Таким образом, для сухой скважины без цементного кольца величина концентрации водорода в породе может быть найдена из соотношения интенсивностей

\* В спектрах везде приводятся пики с вылетом двух аннигиляционных квантов, кроме линий 1,78 Мэв от  $Si^{28}$  ( $nn'\gamma$ ) и 2,223 Мэв от  $H(n, \gamma) D$ , для которых даны пики полного поглощения.

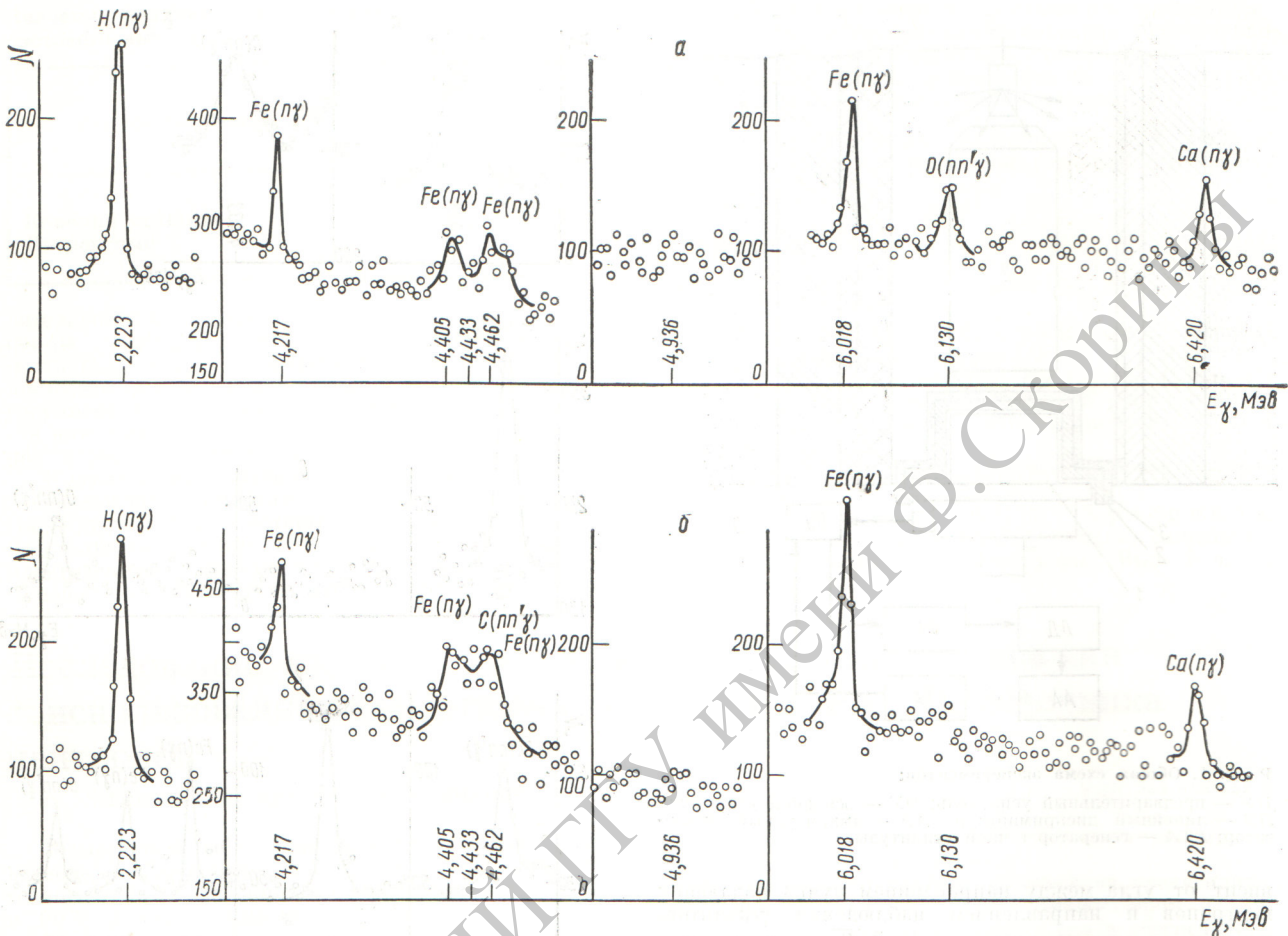


Рис. 3. Характерные  $\gamma$ -линии водорода углерода кислорода кальция и железа в  $\gamma$ -спектрах на модели реальной скважины при заполнении бака пресной водой (а) нефтью (б) (видно, что характерная  $\gamma$ -линия кремния с энергией 4,936 МэВ отсутствует).

линий 4,936 МэВ от  $\text{Si}^{29} (\nu\gamma)$  и 1,78 МэВ от  $\text{Si}^{28} (nn'\nu)$ . Вид замедлителя (нефть или вода), в частности граница водо-нефтяного контакта, устанавливаются по наличию в спектре характерной  $\gamma$ -линии углерода (вклад линий 4,405 МэВ и 4,462 МэВ от  $\text{Fe}^{56} (\nu\gamma)$  в пик от  $\text{C}^{12} (nn'\nu)$  на рис. 2, б ~ 20%).

При экспериментах на модели реальной скважины необходимо отметить, что в спектрах наблюдаются те же характерные  $\gamma$ -линии, однако условия для проведения анализа содержания элементов ухудшаются.

На рис. 3 и 4 дано сравнение участков  $\gamma$ -спектров, полученных для сухого песка, песка, насыщенного пресной водой и маслом, а также для случая наполнения бака водой и маслом без песка. Наличие в цементном кольце (65%  $\text{CaO}$ , 15%  $\text{H}_2\text{O}$ , 20%  $\text{SiO}_2$ ) и в скважине ядер водорода приводит к тому, что уже в спектре, полученном с сухим песком, присутствуют  $\gamma$ -линии радиационного захвата тепловых нейтронов ядрами водорода, кремния и железа. Однако интенсивность этих линий в случае насыщения песка водой или маслом значительно больше, чем в случае сухого песка (для  $\gamma$ -линии водорода 2,223 МэВ вдвое), что позволяет делать заключения о концентрации водорода в окружающей породе.

Несомненный интерес представляет пик от неупругого рассеяния быстрых нейтронов на кислороде. Этот пик четко выделяется во всех случаях, за исключением опыта с баком, наполненным маслом без песка. Интенсивность пика 6,131 МэВ от  $\text{O}^{16}$  меняется в зависимости от состава породы в соответствии с содержанием кислорода в ней, а также из-за изменения распределения потока быстрых нейтронов в пласте. Особое внимание в экспериментах было удалено пику 4,43 МэВ, являющемуся наиболее надежным индикатором наличия нефти. Наблюдаемые на рис. 3 и 4 пики с  $E_\gamma$ , равными 4,217, 4,405 и 4,462 МэВ, принадлежат железу, а 4,420 МэВ —  $\text{Ca}^{41}$ . Для случаев рис. 3, б и 4, б на фоне перечисленных выше  $\gamma$ -линий обнаруживается широкая линия, принадлежащая  $\text{Cl}^{37}$ . Вклад пиков от  $\gamma$ -квантов радиационного захвата тепловых нейтронов в железе может быть учтен достаточно точно по интенсивности линии железа 4,217 МэВ. За величину, характеризующую содержание нефти в породе, может быть принято отношение интенсивностей  $\gamma$ -линий с энергиями ~ 4,4 МэВ к интенсивности характерной  $\gamma$ -линии  $\text{Fe}^{57}$ , например с  $E_\gamma = 4,217$  МэВ. При заполнении бака водой эта величина оказалась равной  $3,35 \pm 0,54$ , при заполнении нефтью —  $4,65 \pm 0,65$ .

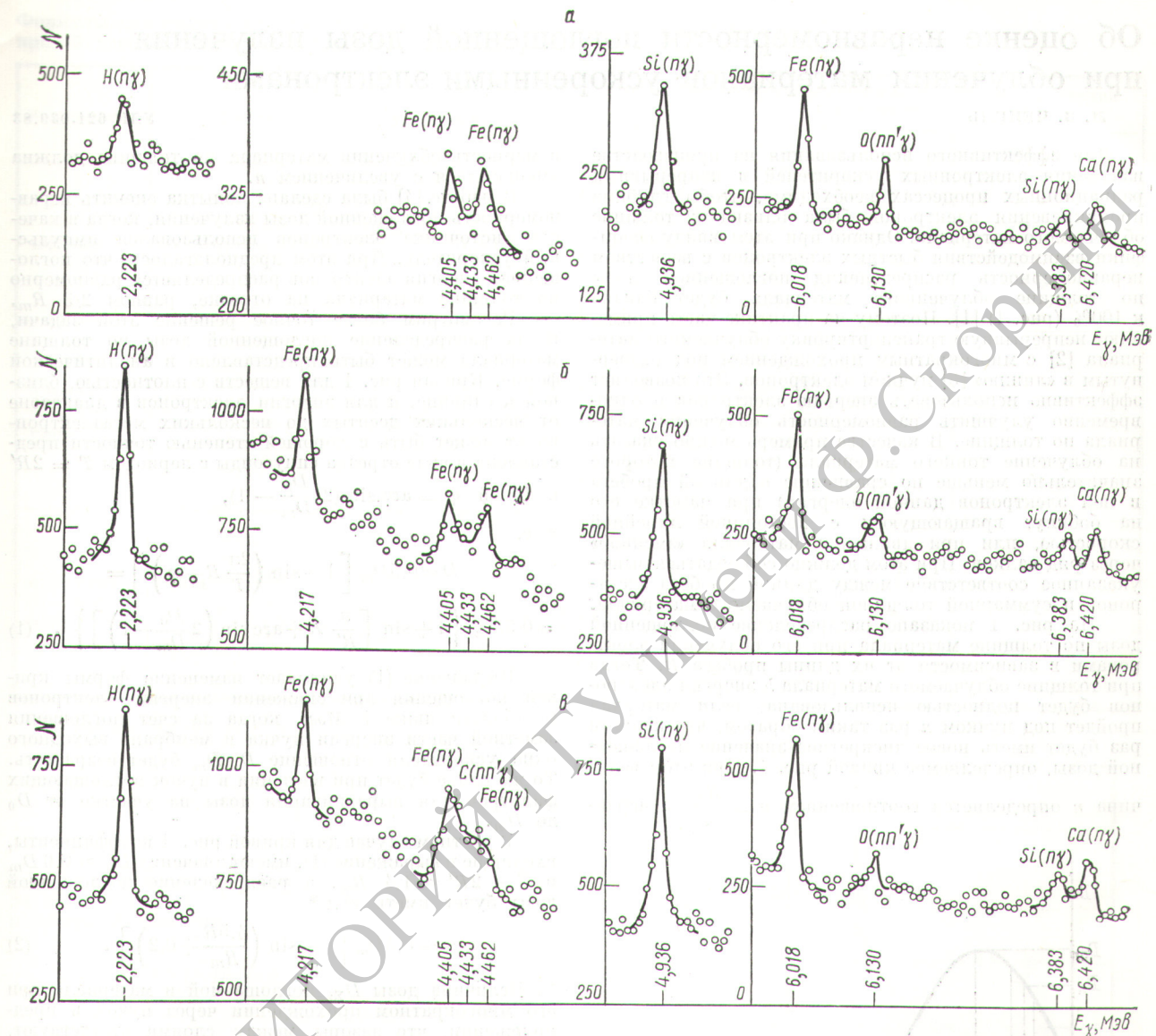


Рис. 4. Характерные  $\gamma$ -линии водорода, углерода, кислорода, кремния, кальция и железа в  $\gamma$ -спектрах на модели реальной скважины при заполнении бака сухим песком (a) песком с водой (b), песком с нефтью (c).

При работе с объемными образцами отношение высот пиков к шедесталу значительно ухудшается из-за большого фона рассеянных  $\gamma$ -квантов. Наибольшую помеху здесь создают  $\gamma$ -кванты от радиационного захвата тепловых нейтронов в  $\text{Fe}^{56}$ . В связи с этим интересно использование импульсного нейтронного генератора, так как появляется возможность проводить раздельную во времени регистрацию  $\gamma$ -квантов радиационного захвата тепловых нейтронов и неупругого рассеяния быстрых нейтронов.

В заключение благодарим Ю. С. Шимелевича и Н. В. Попова за полезные консультации в ходе постановки и проведения экспериментов.

Поступило в Редакцию 18/VI 1969 г.

## ЛИТЕРАТУРА

1. А. М. Демидов, Л. И. Говор, В. А. Иванов. Программа и тезисы докладов XIX ежегодного совещания по ядерной спектроскопии и структуре атомного ядра. Часть I. Ереван, «Наука», 1969.
2. Сб. «Проблемы ядерной геофизики», М., «Недра», 1964.
3. Сб. «Портативные генераторы нейтронов в ядерной геофизике». М., Госатомиздат, 1962.